

移動床における流量と水路幅の関係について

立命館大学工学部 正員 大同淳之

1 はしがき 河道計画において、断面内に余分な堆積、洗堀と許さない平衡条件を、縦断方向だけでなく、横断方向にも成立することが望ましい。現在、縦断形状については平衡条件が求められているが、横断形状については必ずしも十分でない。本報は、幅深さ比について若干の考察と実験をもとに関係式を求め、これを用いて流量と水深および水路幅の関係と求めたものである。

2 解析

i) 流砂の運動式 流砂量 $Q_{B*} (= Q_s / U_* d)$ は、 $\tau_* = U_*^2 / (s-1)gd$ との間に、
 $Q_{B*} = \alpha_1 \tau_*^m$ (1)

と表わせる。 Q_{B*} と τ_* との関係は必ずしも直線でないので、(1)式で表わすためには、領域を区分して適用することが必要で、例之は図1に示す著者らの測定例では、 $0.05 < \tau_* < 0.2$ の範囲で、 $\alpha_1 = 3.0 \times 10^6$ 、 $m = 8.0$ と表わせる。流砂量 Q_s と体積濃度 C で表わすと、

$$Q = Q_s B / C = [\alpha_1 g^{1/2} / (s-1)^m d^{m+1} C] B h^{m+1/2} I^{m+1/2} = \alpha_2 B h^{m+1/2} I^{m+1/2} \quad (2)$$

となる。

ii) 流速式 平均流速と、 $U / U_* = E(R/k_s)^{1/6}$ 、 $E = k_s^{1/6} / n \sqrt{g}$ とすると、
 $U = E(g^{1/2} / k_s^{1/6}) R^{2/3} I^{1/2}$ (3)

となる。著者らの実験によると、 $R = \alpha_3 h$ の関係が成立するので

$$U = \alpha_3^{2/3} E(g^{1/2} / k_s^{1/6}) h^{2/3} I^{1/2} \quad (4)$$

k_s/d は τ_* または F_r 数の関数であることが示されているが、必ずしも十分に関係づけられていないので、 $k/d = \alpha_4$ とし、 $\alpha_3^{2/3} E(g^{1/2} / k_s^{1/6}) = \alpha_4$ として、
 $U = \alpha_4 h^{2/3} I^{1/2}$ (5)

とする。

iii) 幅と水深の関係 水路幅は、河岸を形成する砂れきの性質によつて変わり、砂れきが凝集性を有する場合は、凝集性のない場合に比して狭くなると示している。ここでは凝集性を有しない場合について、水路幅と水深の関係と支配する要因とを考察する。

図2の横断形で、河床に作用するせん断力 τ で $dp \cdot dx$ は、 $dA \cdot dx$ の水の質量力と釣り合っているとすると、河床に作用するせん断力では、

$$Lundgreen \& \text{Jonsson}^1) \text{によつて、次のように表される} \\ \tau = \rho g (dA/dp) I = \rho g R I / (\cos \theta + \frac{1}{2} \cos \theta h^2 \frac{d^2 h}{dy^2}) \quad (6)$$

ここに θ は任意の場所の横断方向の河床の傾斜角、 y は断面中央より測、た横方向の距離である。 $d^2 h / dy^2$ が小さいとすると、

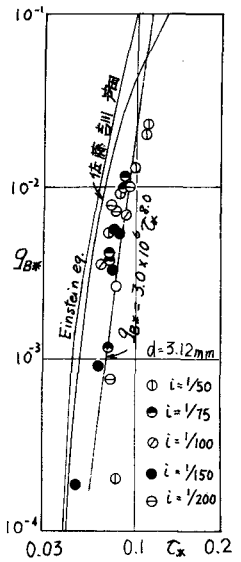


図1. 流砂量式

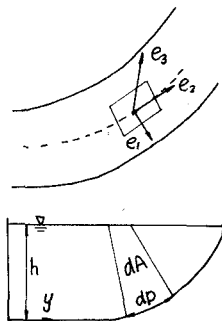


図2. 記号

DAIDO Atsuyuki

$$\tau = \rho g I h \cos \theta \quad (7)$$

となる。河床に作用する持線力および法線力のベクトルをそれぞれ T_{ET} , T_{EN} とすると

$$|T_{ET}| = \mu |T_{EN}| \quad (8)$$

が任意の場所で成立する。ここに μ は摩擦係数である。

$$T_{ET} = \alpha_0 \tau_c e_1 - \rho g (S-1) (1-P) d \sin \theta e_2, \quad T_{EN} = -\{\rho g (S-1) (1-P) d \cos \theta - \quad \} e_3 \quad (9)$$

ここに $\alpha_0 \tau_c$ は砂れきに作用する流体力, $\alpha_0 \tau_c$ は浮力, d は粒径, e_1, e_2, e_3 はそれぞれ流線に示す方向の単位ベクトルとある。(2)式と $\tan \theta = -dh/dy$ として(8)式と表わすと,

$$(h/h_0)^2 + \{ (1+\mu\beta)/\mu \}^2 (dh/dy)^2 = \mu^2 \{ [(1+\mu\beta)/\mu] - \beta h/h_0 \}^2 \quad (10)$$

ここに h_0 は流路中央の水深である。 $h(0) = h_0, h(B/2) = 0$ の条件でとくと,

$$\frac{h}{h_0} = \frac{1}{1-r} \left[\cos \left\{ \mu \left(\frac{1-r}{1+r} \right)^{\frac{1}{2}} \frac{y}{h_0} \right\} - r \right] \quad (11) \quad \frac{2h_0}{B} = \mu \left(\frac{1-r}{1+r} \right)^{\frac{1}{2}} \frac{1}{\cos^2 r} \quad (12)$$

ここに $r = \beta\mu$ である。 $r = \text{一定}$ であるから, $h_0/B = \alpha_5 \quad (13)$, の成立を示唆する。 5

は次に, $y=0$ で $\tau(0) = \tau_c$ とすると, $\tau_c / \rho g (S-1) d = \mu (1-P) / [\alpha (1+\mu\beta)]$, となり, $\mu = 0.6, p = 0.35, \tau_c / \rho g (S-1) d = 0.05, \beta = 0.85$ とすると, $\alpha_0 = 5.2, h_0/B = 6.05$ となる。

P. Aecker²⁾ のデータは, (13)式の成立を示し, 凝集性のある土質で $\alpha = 10$ 砂れきで $\alpha = 12.4$ と示している。一方, 若者らの実験値では図3に示すように $h/d = \alpha_6 (B/d)^n, n = 2/3$ (13) という結果を示している。これは上の解折がまだ十分でないことを示している。

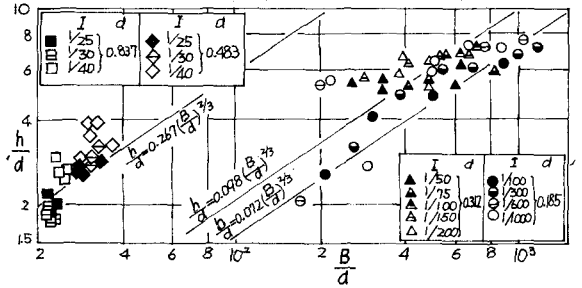


図3 水深 h と流路幅 B の関係

IV) 流路幅と流量の関係

(2)式に(5)および(13)式を代入して, 流量と水深, 流路幅の関係

と求めると

$$h = \frac{1}{\alpha_2 \frac{1}{3} (m+\frac{1}{2}) - \frac{2}{3}} \cdot \frac{\alpha_6 \frac{3}{3} (m+\frac{1}{2}) - \frac{2}{3}}{\alpha_4 \frac{1}{3} (m+\frac{1}{2}) - \frac{2}{3}} Q \quad (14)$$

$$B = (h/\alpha_6)^{\frac{3}{2}} = \left(\frac{\Gamma}{\alpha_6} \right)^{\frac{3}{2}} Q^N, \quad N = \frac{3}{2} M \quad (15)$$

となる。 τ_c の範囲で(2)式のべき数 m が $9 \sim 1$ の範囲, 変化するので, (14)および(15)式のべき数 M, N を m について求めた結果を図4に示す。 M, N は m の変化にのかわらず, ほぼ $M = 0.36, N = 0.52$, とほぼ一定で, これらの値は従来より Regime 式で, $h \propto Q^{0.36}, B \propto Q^{0.5}$ と示している値にほぼ一致する。 Γ および $\frac{\Gamma}{\alpha_6}$ の値については講演時に述べる

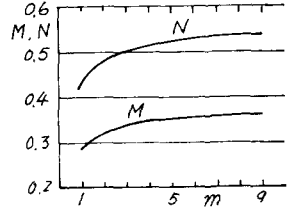


図4 水深, 幅に対する流量の指数

3. まとめ

流砂量, 流速式および幅深さ比を表わす式と連立に解くと, Regime 式とほぼ一致する水深-流量式, 流路幅-流量式が得られた。

1) Lundgreen & Jonsson, Proc. ASCE Vol 90 (HY1) 1964. 2) P. Aecker, Proc. ASCE Vol. 90 (HY4) 1964. 3) G. Parker, J. Fluid Mech Vol. 89 Part 1 1978